

УДК 621.315.592:539.216:548.4

**КОМПЛЕКСНЫЙ АНАЛИЗ СТРУКТУРЫ ПЛЕНОК КАРБИДА КРЕМНИЯ,  
ВЫРАЩЕННЫХ НА КРЕМНИИ В УСТАНОВКАХ ВАКУУМНОЙ ЭПИТАКСИИ  
ИЗ ГИДРИДОВ И УГЛЕВОДОРОДОВ**

© 2010 Л.К. Орлов<sup>1\*</sup>, Ю.Н. Дроздов<sup>1</sup>, М.Н. Дроздов<sup>1</sup>, О.А. Подъячева<sup>2</sup>, В.И. Вдовин<sup>3</sup>

<sup>1</sup>Учреждение Российской академии наук Институт физики микроструктур РАН, Нижний Новгород

<sup>2</sup>Нижегородский государственный технический университет

<sup>3</sup>Санкт-Петербургский государственный университет

Статья поступила 5 ноября 2009 г.

С доработки — 15 апреля 2010 г.

Обсуждаются фазовый состав, морфология поверхности и кристаллическая структура углеродсодержащих слоев кремния, выращенных на пластинах кремния различной ориентации методом вакуумной газофазной эпитаксии в различных технологических режимах. Обсуждается возможность фазового перехода твердый раствор  $\text{Si}_{1-x}\text{C}_x$  — карбид кремния при отжиге структур, полученных в результате низкотемпературной эпитаксии. Анализ пленок проведен с использованием разнообразных методов анализа, таких как электронная, зондовая и интерференционная оптическая микроскопия, электронография, рентгеновская дифракция. Обсуждается влияние германия, вводимого в состав пленки в процессе роста, на морфологию поверхности и кристаллическую структуру углеродсодержащих слоев кремния. Показано, что независимо от характера введения германия в растущий слой максимальная концентрация германия достигается на границе слоя кремния и слоя 3C—SiC. Проведено сопоставление степени шероховатости поверхности пленок 3C—SiC, выращиваемых на Si(100), при разных температурах и с различным содержанием германия в смеси газов. Методом оптической интерференционной микроскопии изучена морфология поверхности гетероэпитаксиальных структур 3C—SiC/Si в сравнении с характеристиками поверхности буферных структур на основе Si и Ge. Показано, что слои 3C—SiC, выращенные на Si(100) и Si(110), имеют довольно низкий уровень шероховатости поверхности, что вполне сопоставимо с характеристиками слоев  $\text{Si}_{1-x}\text{Ge}_x/\text{Si}(100)$  и сверхрешеток  $\text{CP}(\text{Ge}—\text{Si}_{1-x}\text{Ge}_x)/\text{Si}(100)$  при исходной шероховатости подложек  $\text{Si} \sim 1—2 \text{ нм}$ .

**Ключевые слова:** кремний, карбиды кремния, германий, гетероструктуры, химическая вакуумная эпитаксия, кристаллографическая структура пленок, морфология поверхности, структура гетероперехода.

**ВВЕДЕНИЕ**

В последние годы гетероструктуры 3C—SiC/Si вызывают повышенный интерес как в качестве подложечного материала, перспективного для выращивания пленок нитрида галлия [1], так и при использовании их в качестве широкозонного эмиттера к кремнию в элементах опто- и СВЧ-электроники [2, 3], обеспечивающих продвижение активных кремниевых элементов в сверхвысокочастотную область спектра. Технология выращивания качественных гетероэпитаксиальных структур с использованием углерода сталкивается, однако, со значительными трудностями, обусловленными плохой растворимостью углерода в Si и Ge, а также с большим несоответствием кристаллических решеток слоев SiC и кремния. Возникающие проблемы за-

\* E-mail: orlov@ipm.sci-nnov.ru

ставляют рассматривать не только всевозможные варианты гетерокомпозиций, пригодных для использования на практике, но и разнообразные способы их формирования.

### ТЕХНОЛОГИЯ ВЫРАЩИВАНИЯ ГЕТЕРОСТРУКТУР

Гетероэпитаксию пленок кубической фазы карбида кремния в основном осуществляют из смеси газов методом химического осаждения [ 4, 5 ]. При этом гетерокомпозиции 3C—SiC/Si могут быть получены путем непосредственного осаждения пленки карбида кремния на кремний и в результате фазовых превращений тонких углеродсодержащих пленок твердого раствора  $\text{Si}_{1-x}\text{C}_x$  внутри слоя кремния при высокотемпературном отжиге структуры. Рост пленок твердого раствора ведут, как правило, при температуре ниже 700 °C с использованием элементоорганических соединений. Значительное внимание при этом уделяется особенностям растворения углерода в слоях кремния и германия [ 6, 7 ]. В отличие от твердого раствора карбиды кремния имеют более широкую запрещенную зону и обладают повышенной радиационной и химической стойкостью. Выращиванию карбидных пленок на кремнии предшествует предварительная карбидизация поверхности кремния при температуре около 1000 °C в потоке углеводородов и последующий рост слоя 3C—SiC из смеси силана с углеводородами.

В настоящей работе изучаются свойства углеродсодержащих пленок кремния, осаждаемых в различных температурных режимах ( $700 \text{ }^{\circ}\text{C} < T_{\text{oc}} < 1000 \text{ }^{\circ}\text{C}$ ) на подложки Si с ориентацией (100), (110) и (111) вакуумным методом из смеси силана с углеводородами [ 5, 8 ]. В процессе исследований наибольшее внимание уделяли изучению кристаллографической структуры выращиваемых пленок и морфологии их поверхности. Некоторые особенности роста пленок 3C—SiC на поверхности Si(111) обсуждались в работах [ 9, 10 ].

### СОСТАВ И КРИСТАЛЛИЧЕСКАЯ СТРУКТУРА ПЛЕНОК

Фазовый состав выращиваемых слоев контролировали методом рентгеноструктурного анализа (XRD) и методом вторичной ионной масс-спектрометрии (SIMS). Дифракционные пики на кривых качания, подтверждающие формирование текстурированных слоев кубической карбидной фазы в выращенной структуре, изучали в диапазоне углов  $2\theta = (25—50)^{\circ}$ . Вид спектров ( $\omega—2\theta$ )-сканирования для образцов, полученных на подложках кремния различной ориентации, представлен на рис. 1. Спектры сняты на дифрактометре ДРОН-4 на  $\text{CuK}_{\alpha}$ -излучении с отклонением от основного пика на угол  $\Delta\omega = -0,5^{\circ}$ . В спектрах отчетливо идентифицируются наиболее часто две линии, одна из которых связана с подложкой кремния, другая — с пленкой карбида кремния. При температуре роста пленки выше 800 °C в спектрах рентгеновской дифракции стабильно наблюдаются характерные линии, соответствующие отражениям от плоскостей (111)  $2\theta_{111} = 35,64^{\circ}$  (см. рис. 1, *a*, *b*, *г*, кр. 1, 4) либо (200)  $2\theta_{200} = 41,5^{\circ}$  (см. рис. 1, *в*, *г*, кр. 2, 3) кубического карбида кремния. В пленках  $\text{Si}_{1-x}\text{C}_x$ , выращенных при пониженных температурах ( $\leq 700 \text{ }^{\circ}\text{C}$ ), указанные линии отсутствовали или были очень слабо выражены. Уширенные дифракционные пики в окрестности углов  $2\theta \approx 28,5, 33,5$  и  $47,2^{\circ}$  связаны, соответственно, с отражением излучения от плоскостей (111), (200) и (440) нарушенного подслоя кремния. Детальные электронографические исследования (см. вставку на рис. 2, *а*) структуры гетерокомпозиций 3C—SiC/Si(111) показали структуру зерен [ 10 ], ориентированных в направлениях [111] и [110].

Дифракционный пик, связанный с отражением от плоскости кубического карбида кремния 3C—SiC (200) (см. рис. 1, *в*, *г*) и соответствующий углу  $2\theta = 41,5^{\circ}$ , вообще говоря, характерен и для всех ромбоэдрических фаз NR—SiC ( $N = 1, 15, 21, 33$ ). Сильные деформации в окрестности гетерограницы вполне могут приводить к искажению кубической решетки карбида кремния, способствуя проявлению на поверхности кремния вместо кубической ромбоэдрической фазы, характеризуемой появлением в XRD спектрах пика  $2\theta_{1013} = 40,3^{\circ}$  (см. рис. 1, *в*, кр. 1). Снижение ростовой температуры способствовало появлению в спектрах XRD слабо выраженных дополнительных линий, присущих фазам ромбоэдрического карбида кремния при отражении от плоскостей {012}, (018), (0021), (1010), (1013), (0114).

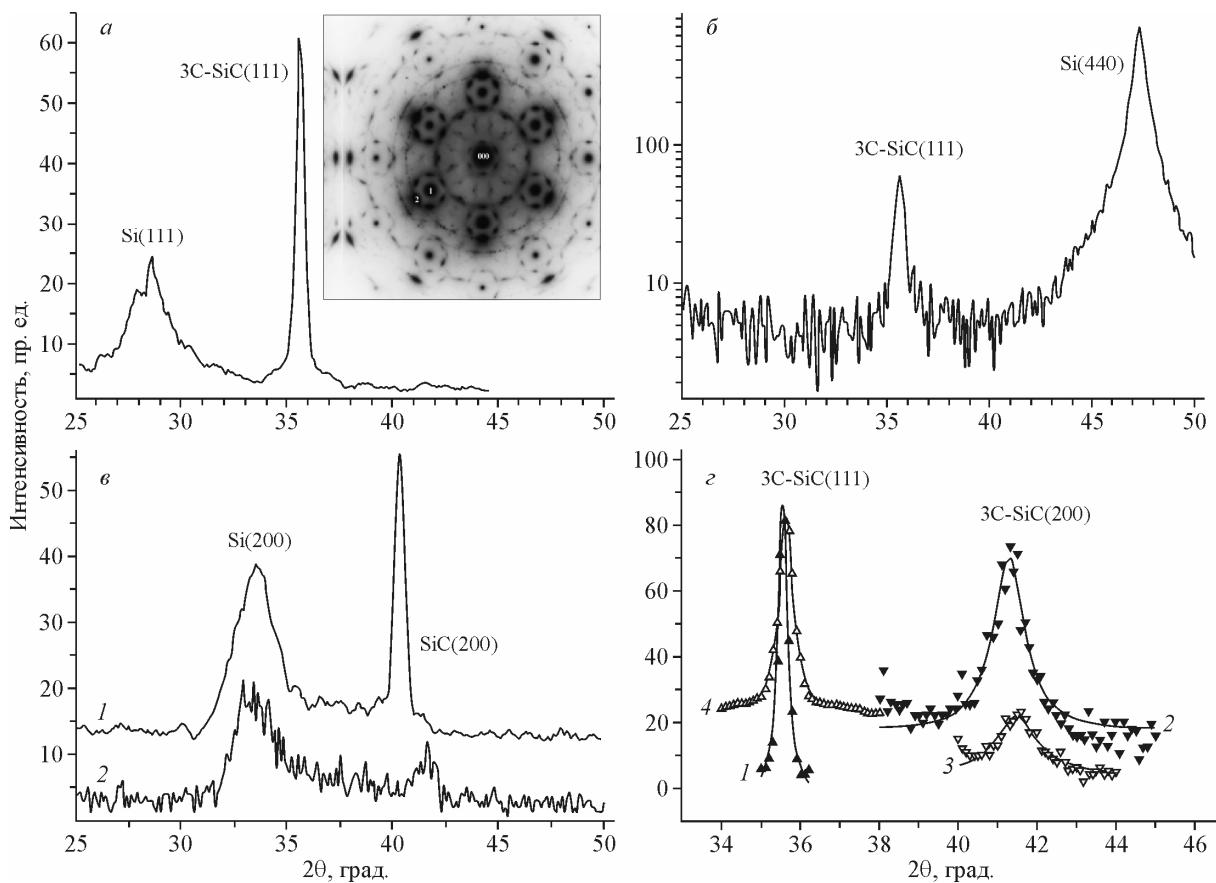


Рис. 1. Рентгенограммы углеродсодержащих слоев кремния, выращенных на Si(111) (а — № 808, г — № 801, кр. 1, № 808, кр. 4), на Si(110) (б — № 905) и на Si(100) (в — № 706, кр. 1, № 708, кр. 2, г — № 702, кр. 2, № 804, кр. 3)

Анализ распределения компонент состава по толщине структуры методом ионной масс-спектрометрии для нескольких образцов (см. рис. 2) выявил характер распределения атомов кремния, углерода, германия и комплексов SiC по толщине структуры. Во всех структурах максимальное (минимальное) содержание углерода (кремния) наблюдается в окрестности формируемого верхнего слоя карбида кремния. Границу слоя SiC определяли скачком концентрации Si (Ge) на рис. 2, а, в. Реальный профиль распределения углерода по глубине структуры может оказаться более резким, чем следует из рис. 2, из-за сильного неоднородного растворения поверхности карбидного слоя ионным пучком. Атомы германия в слое 3С—SiC в образцах 807 и 809, согласно данным ВИМС, отсутствуют, в образце 803 присутствуют в весьма незначительном количестве. Вытеснение основной массы атомов германия в область гетероперехода под карбидный слой происходит, по-видимому, вследствие эффекта гетерирования и плохой растворимости атомов германия в слое SiC. Под карбидным слоем во всех случаях мы наблюдали формирование тонкого слоя твердого раствора SiGeC. Слой с максимальным содержанием германия (до 3 ат.%) наблюдали в образце 803 (см. рис. 2, в, кр. 1), выращенном при низкой температуре и низком уровне молекулярных потоков, подаваемых на подложку. Структуру 803 выращивали при температуре  $\sim 700$  °С в течение 2,5 ч в условиях низких потоков рабочих веществ ( $P_{\text{SiH}_4} \approx 0,1$ ,  $P_{\text{GeH}_4} \approx 0,01$ ,  $P_{\text{C}_6\text{H}_{14}} \leq 0,003$  мТорр). Толщина поверхностного слоя SiC (см. рис. 2, г) соответствовала приблизительно 15 нм. Повышение давления газов в реакторе в условиях низких ростовых температур приводит к заполнению поверхности растущего слоя неразложившимися продуктами распада молекул углеводорода, что препятствует росту слоев как твердого раствора SiGe, так и карбида кремния (образец 809 на рис. 2). Структуру 809 рас-

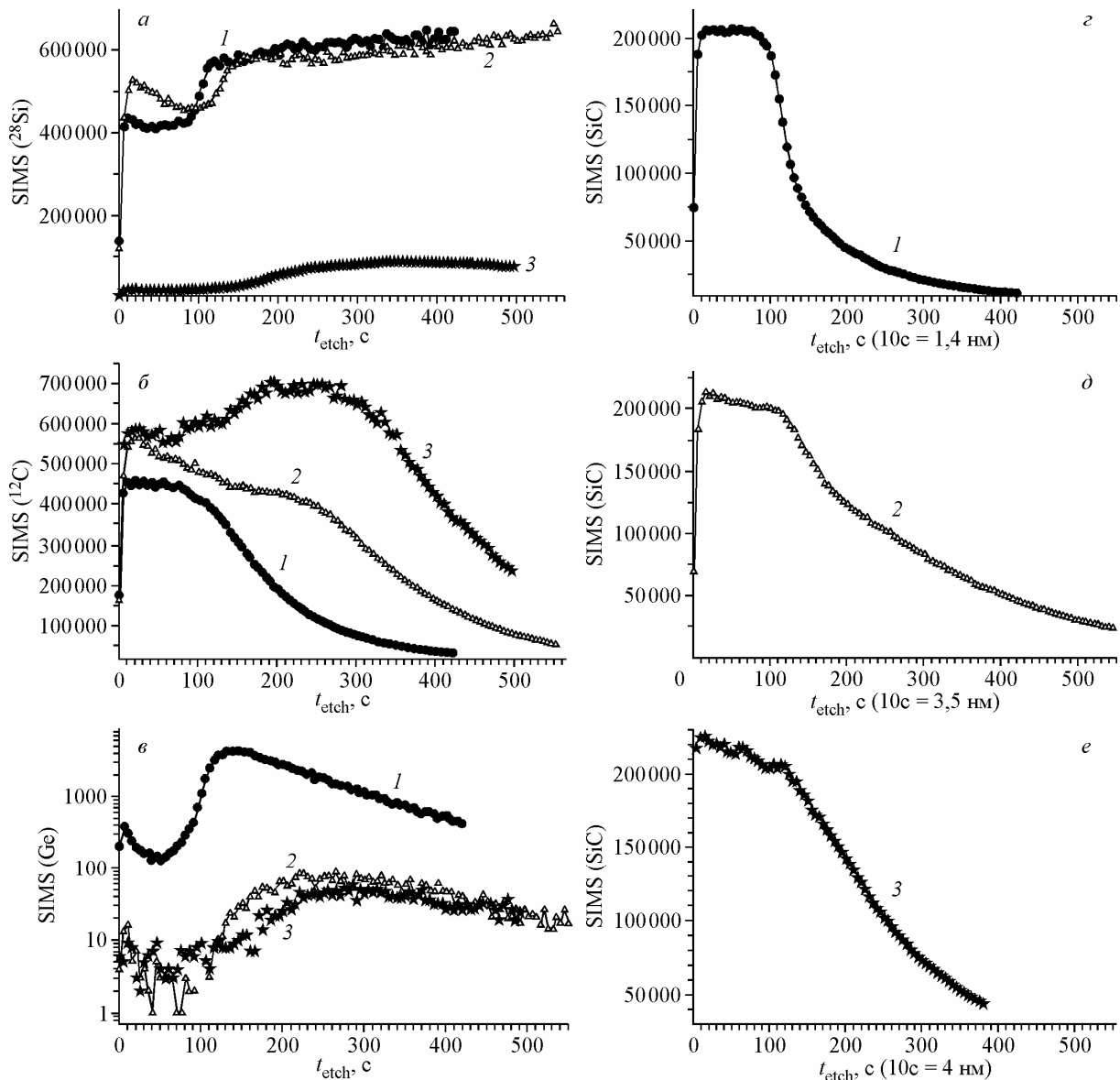


Рис. 2. Распределение Si (a), C (б) и Ge (в) (данные SIMS) по толщине структуры для образцов SiC:Si:Ge/Si(100); кр. 1 соответствует образцу 803 ( $t_{\text{etch}} = 100 \text{ с} \approx 14 \text{ нм}$ ), кр. 2 — 809 ( $t_{\text{etch}} = 100 \text{ с} \approx 35 \text{ нм}$ ), кр. 3 — 807 ( $t_{\text{etch}} = 100 \text{ с} \approx 40 \text{ нм}$ ); распределение SiC (г—е) по толщине структуры: г — образец № 803,  $T_{\text{gr}} = 700 \text{ }^{\circ}\text{C}$ , д — № 809,  $T_{\text{gr}} = 700 \text{ }^{\circ}\text{C}$  и е — образец № 807,  $T_{\text{gr}} = 1000 \text{ }^{\circ}\text{C}$

тили при той же температуре ( $700 \text{ }^{\circ}\text{C}$ ) в течение 3 ч, но в условиях более высокой плотности потоков гидридов и углеводорода ( $P_{\text{газ}} \geq 0,3 \text{ мTorr}$ ).

Оценка глубины ямки травления с использованием оптической интерференционной микроскопии (WLI) и данных SIMS дали толщину слоя карбида кремния  $d_{\text{SiC}} \approx 40 \text{ нм}$ . Повышение температуры до  $1000 \text{ }^{\circ}\text{C}$  приводило к более эффективному карбиообразованию на поверхности кремния (см. рис. 2, а—в, кр. 3). Рост структур при более высокой температуре  $1000 \text{ }^{\circ}\text{C}$  (см, например, образец 807) позволил вырастить достаточно толстые слои SiC (для данного образца  $d_{\text{SiC}} \approx 50 \text{ нм}$ ) в течение более короткого (около 5 мин) промежутка времени при давлении силана и гексана  $P_{\text{газ}} \approx 0,02 \text{ мTorr}$  и давлении германия  $P_{\text{GeH}_4} \leq 0,003 \text{ мTorr}$ . Из представленных на рис. 2 кривых следует также, что формирование слоя твердого раствора SiGe (образец 803) под слоем карбида кремния приводит к формированию более резкого гетероперехода, что согласу-

ется с данными работы [ 11 ]. Согласно современным представлениям растворимость углерода повышается в сильно напряженных слоях твердого раствора SiGe [ 12 ]. В нашем случае под слоем карбида кремния формируется твердый раствор SiGeC, содержание углерода в котором, однако, понижается с ростом концентрации германия в слое. Это можно видеть, например, сравнивая кривые на рис. 2.

Поверхностные слои SiC по данным рентгеноструктурного анализа и электронографических исследований обладают хорошо выраженной кристаллической текстурой и по оценкам диаметров колец на картинках электронной дифракции соответствуют межплоскостным расстояниям кубического карбида кремния. Более детальную информацию о структуре выращенных нанокристаллических пленок и возможности проявления в них эффекта упорядочения кристаллической структуры дает анализ снимков просвечивающей электронной микроскопии (TEM) в проходящем пучке. В работе [ 10 ], в частности, изучена с использованием различных методов реальная форма и структура островков, формируемых на поверхности структуры 3С—SiC/Si(111), обладающих текстурированной поликристаллической плотноупакованной структурой. В островках наблюдается упорядоченная структура зерен с размерами 30—50 нм.

### МОРФОЛОГИЯ ПОВЕРХНОСТИ ПЛЕНОК

Основной целью настоящей работы являлось изучение влияния условий роста на морфологию поверхности выращиваемых слоев. Внешний вид поверхности и основные ее показатели (шероховатость  $S_q$ , размах  $S_t$  и перекос  $S_{sk}$ ) для структур SiC/Si (см. таблицу) получены с помощью оптического интерференционного микроскопа Taylor Hobson CCI 2000 A [ 13 ]. Величина шероховатости поверхности  $S_q$ , оцененная с помощью данного метода, согласно [ 10, 13 ] соответствует результатам сканирующей зондовой микроскопии. Несмотря на значительное (~ 20 %) несоответствие решеток исходной гетеропары параметр шероховатости поверхности пленки SiC остается довольно низким. Для большинства выращенных гетероструктур SiC/Si(100) величина  $S_q$  не превышала 4 нм при шероховатости подложек  $S_q \approx 1,5$  нм (см. таблицу).

*Структура образцов и характеристика морфологии поверхности*

№	Структура	$t_{gr}$ , мин	$T_{gr}$ , °C	$S_q$ , нм	$S_t$ , нм	$S_{sk}$
Подложка	Si(100)			1,434	13,26	-0,005
508	Si/Si(111)	240	500	1,646	19,52	0,0426
384	SL(Ge—Si <sub>0,89</sub> Ge <sub>0,11</sub> )/Si(100)	110	650	5,249	32,86	0,703
388	SL(Ge—Si <sub>0,9</sub> Ge <sub>0,1</sub> )/Si(100)	150	650	2,253	24,72	0,0666
412	(Si—Si <sub>0,8</sub> Ge <sub>0,2</sub> )/Si(100)	170	700	1,285	9,58	-0,0901
702	SiC/Si(100)	120	900	1,57	14,75	-0,087
705	SiC/Si(100)	110	870	3,669	23,99	0,164
706	SiC/Si(100)	60	920	2,264	18,89	-0,009
707	SiC/Si(100)	180	950	1,477	14,81	-0,169
708	SiC/Si(100)	120	1050	2,76	19,39	0,234
803	SiC/Si(100)	150	700	1,35	11,53	-0,41
804	SiC/Si(100)	220	700	41,15	372,4	-3,965
807	SiC/Si(100)	5	1000	1,332	10,92	0,0118
905	SiC/Si(110)	150	900	3,047	16,9	-0,0671
906	SiC/Si(110)	30	900	1,265	10,72	0,1877
801	SiC/Si(111)	60	900	132,8	657,2	-0,2727
808	SiC/Si(111)	200	800	134,3	1049	0,6677

П р и м е ч а н и е.  $S_q$  — шероховатость,  $S_t$  — размах,  $S_{sk}$  — перекос поверхности,  $t_{gr}$  — время,  $T_{gr}$  — температура роста пленки.

Рис. 3. Зависимость шероховатости ( $S_q$ ) поверхности структур  $\text{Si}_{1-x}\text{Ge}_x/\text{Si}(100)$  (круг), электронной ( $\text{Si}-\text{Si}_{1-x}\text{Ge}_x/\text{Si}(100)$ ) (№ 412) транзисторной структуры (квадрат) и CP( $\text{Ge}-\text{Si}_{1-x}\text{Ge}_x/\text{Si}(100)$ ) (звезды) от величины  $xD$ , где  $D$  (мкм) — толщина структуры,  $x$  — среднее содержание состава по структуре.

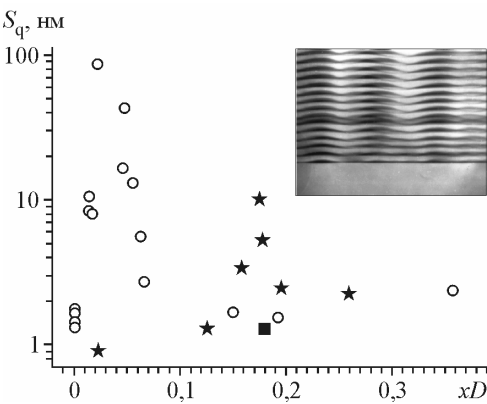
На вставке: TEM сечения CP( $\text{Ge}-\text{Si}_{1-x}\text{Ge}_x/\text{Si}(100)$ ) (№ 384), полученной методом Si—GeH<sub>4</sub> MBE [14, 15].

Наибольшая шероховатость  $S_q$  и наибольший перепад высот  $S_t$  поверхности, определяемый разностью амплитуд наиболее высокого пика и наиболее низкой впадины на поверхности сканируемой области, наблюдался для структур, выращенных на поверхности Si(111). Использование подложек кремния, вырезанных в направлении (111), приводит к формированию на поверхности фигур роста и их разрастанию в плоскости пленки в процессе рекристаллизации. Шероховатость пленок составляет несколько сотен нанометров.

При росте пленок на подложках Si(100) шероховатость поверхности достигала нескольких нанометров. В частности, для образца № 707 (см. таблицу), выращиваемого в течение 3 ч при температуре  $T_{gr} \approx 950^\circ\text{C}$  в парах гексана при давлении 0,1 мТорр, разница между максимальными положительным и отрицательным пиками в плоскости пленки (амплитуда размаха поверхности) достигала величины  $S_t = 14,81$  нм при перекосе  $S_{sk} = -0,169$ . Шероховатость образца по данным оптической интерференционной микроскопии составляла величину  $S_q = 1,477$  нм. Аналогичные значения параметров для исходной неотожженной подложки Si(100) были равны:  $S_q = 1,434$  нм,  $S_t = 13,26$  нм,  $S_{sk} = -0,005$ . Значения указанных величин для серии образцов, полученных в несколько иных технологических условиях, приведены в таблице. Видно, что как шероховатость, так и размер поверхности зависят от направления, времени и температуры роста.

Так как целью настоящей работы являлось показать принципиальную возможность использования промежуточных карбидных слоев в качестве эффективного буфера между кремниевой подложкой и другими материалами, то интересно провести сопоставление морфологии получаемой карбидизированной поверхности кремния с характеристиками поверхности более традиционных буферов. В качестве таковых в кремниевых системах наиболее часто используют однородные и градиентные слои твердого раствора  $\text{Si}_{1-x}\text{Ge}_x$  и согласующие сверхрешетки на основе Si и Ge.

В настоящей работе морфология поверхности выращенных карбидных пленок (см. таблицу) сопоставляется с морфологией поверхности эпитаксиальных слоев  $\text{Si}_{1-x}\text{Ge}_x$  и сверхрешеток  $\text{Ge}/\text{Si}_{1-x}\text{Ge}_x$ , осажденных на кремниевые подложки Si(100). Структуры выращивали методом молекулярно-пучковой эпитаксии (Si—GeH<sub>4</sub> MBE) с комбинированными источниками [14, 15]. Слои германия и сплава в периодической структуре с периодом  $d_{SL} \sim 20—22$  нм вследствие роста по механизму Странского—Крастанова промодулированы по толщине, как показано на вставке к рис. 3. Несмотря на заметно выраженную модуляцию толщины отдельных слоев в сверхрешетке степень шероховатости внешней поверхности большинства исследованных структур лежит в пределах допустимой нормы (см. таблицу), т.е. составляет  $S_q \sim 2—5$  нм. В то же время для однородных эпитаксиальных слоев  $\text{Si}_{1-x}\text{Ge}_x$  наблюдается хорошо выраженная зависимость  $S_q$  от величины  $xD$ , где  $D$  (мкм) — полная толщина пленки (см. рис. 3, кружки). Шероховатость поверхности пленки максимальна для докритической толщины слоев  $\text{Si}_{1-x}\text{Ge}_x$   $D < D_{cr}$ , соответствующих минимальной для данного  $x$  толщине слоя, при которой начинается пластическая релаксация упругих напряжений в структуре. Введение релаксации напряжений (сетки дислокаций несоответствия) в упругонапряженную систему приводит к сглаживающему эффекту, т.е. к снижению степени шероховатости поверхности пленки. Наилучший эффект достигается для толстых буферных слоев градиентного состава (образец № 412), обычно используемых при изготовлении транзисторных гетероструктур Si— $\text{Si}_{1-x}\text{Ge}_x$  с двумерным электронным каналом в слоях кремния [16].



Работа выполнена в рамках проектов Российского фонда фундаментальных исследований (гранты № 08-02-97017-р\_a (Поволжье) и 08-02-00065-а).

#### СПИСОК ЛИТЕРАТУРЫ

1. *Wei C.H., Xie Z.Y., Li L.Y. et al.* // J. Electr. Mat. – 2000. – **29**, N 3. – P. 317.
2. *Hsieh W.T., Fang Y.K., Lee W.J. et al.* // Electr. Lett. – 2000. – **36**, N 22. – P. 1869.
3. *Sugii T., Ito T., Furumura Y. et al.* // Electr. Dev. Lett. – 1988. – **9**, N 2. – P. 87.
4. *Dhanaraj G., Dudley M., Chen Yi. et al.* // J. Cryst. Growth. – 2006. – **287**, N 2. – P. 344.
5. *Simon L., Kubler L., Bischoff J.L. et al.* // Phys. Rev. B. – 1996. – **54**, N 15. – P. 10559.
6. *Seal C.K., Samara D.S., Banerjee S.K.* // Appl. Phys. Lett. – 1997. – **71**, N 24. – P. 3564.
7. *Benzi P., Bottizzo E., Demaria C. et al.* // J. Appl. Phys. – 2007. – **101**, N 12. – P. 124906.
8. *Орлов Л.К., Дроздов Ю.Н., Шевцов В.Б. и др.* // Физика тверд. тела. – 2007. – **49**, № 4. – С. 596.
9. *Орлов Л.К., Дроздов Ю.Н., Алябина Н.А. и др.* // Физика тверд. тела. – 2009. – **51**, № 3. – С. 446.
10. *Орлов Л.К., Дроздов Ю.Н., Вдовин В.И. и др.* // Физика тверд. тела. – 2009. – **51**, № 5. – С. 1018.
11. *Zgheib Ch., Mcneil L.E., Marsi P. et al.* // Appl. Phys. Lett. – 2006. – **88**, N 21. – P. 211909.
12. *Osten H.J., Bugiel E., Zaumseil P.* // J. Cryst. Growth. – 1994. – **142**, N 3. – P. 322.
13. *Blunt R.T.* // Proceed. CS MANTECH Conf. – Vancouver, Canada, 2006. – P. 59.
14. *Orlov L.K., Tolomasov V.A., Potapov A.V. et. al.* // IEEE SIMC – 9. – Proceed. 9<sup>th</sup> Int. Conf. on Semicond. & Insulating Materials. – Toulouse, France, 1996. – P. 215.
15. *Толомасов В.А., Орлов Л.К., Светлов С.П. и др.* // Кристаллография. – 1998. – **43**, № 3. – С. 535.
16. *Орлов Л.К., Horvath Zs.J., Орлов М.Л. и др.* // Физика тверд. тела. – 2008. – **50**, № 2. – С. 317.